

名古屋工業大学 正員 細井 正延
 大学院 学生員 ○井本久仁吉
 清水建設 桑原 英世

1. まえがき

われわれは、水面波の波動運動による再曝気現象に関する研究の一つとして、進行波の場合を昨年度の年次学術講演会で報告した。¹⁾その後、重複波の波高、周期及び水深によって再曝気係数がどのように変化するかを実験的に調べた。本文では、重複波の場合の実験結果を報告し、さらに進行波の実験結果との比較検討を加えた。

2. 実験方法

長さ33m、幅0.6mの造波水槽に反射板を設置し、水槽の中央部の2箇所に厚さ0.5mmのゴム膜をゆるく張り、水槽両端での碎波の影響が測定場所に及ばないようにして上で、水槽中の溶存酸素量を亜硫酸ソーダ（触媒として塩化コバルト）により減少させ、造波板にて波を起して空気中からの酸素移動を測定した。酸素量の測定は、Model 15A型溶存酸素計をヤン書きオッショグラフに接続して記録させた。また、波高は抵抗線式波高計、空気の乱れは熱線風速計を使つて測定した。

3. 実験結果

記録された溶存酸素量・時間曲線から20°Cの水温に換算して再曝気係数 κ （1/day）を求め、得られた κ と波の諸元、水深との関係を無次元表示すると次式のようになる。

進行波の場合

$$\kappa_1 T = 9.72 \times 10^{-6} (\text{H/L})^{-5.53} (\text{H/L})^{2.58} \quad \dots \quad (1)$$

重複波の場合

$$\kappa_2 T = 1.31 \times 10^{-6} (\text{H/L})^{-5.59} (\text{H/L})^{2.70} \quad \dots \quad (2)$$

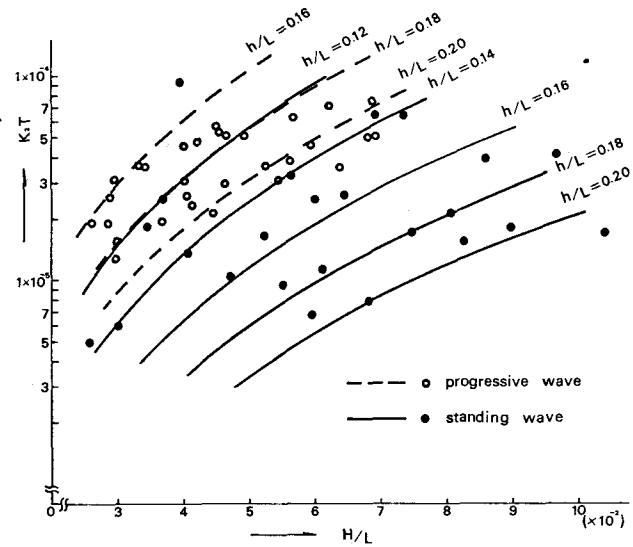
ただし、T：周期(day), h：水深(cm)

H：波高(cm), L：波長(cm)

図-1

横軸に波形勾配 H/L を、縦軸に κT を取り、比水深 h/L をパラメータとして描くと図-1のようになる。図中の実線は重複波の比水深 h/L が0.12, 0.14, 0.16, 0.18, 0.20の各場合を示す。また破線は進行波の比水深 h/L が0.16, 0.18, 0.20の各場合を示す。ただし、進行波の資料は昨年度の報告に用いた資料と同じである。

式(1)と(2)の右辺を比較すると、 $\kappa_1 T$, $\kappa_2 T$ の指數は、進行波と重複波ではかなりよく似た値を持つ。しかし、定数は進行波と重複波ではかなり異なつてゐることに気付く。一般に水粒子速度が大きければ水粒子の変動速度を大きくなると考えられ、そのため表面再生速度を大きくなると思われる。すなわち酸素分子は、空気中から水中に溶け込み易くなり、再曝気係数



数は大きくなる。そこで $k_2 \propto (\text{水粒子速度})^a / (\text{水深})^b$ と仮定し、実測値を用いて最小2乗法によつて a 、 b の値を求めてみると、 b の order は a の order に比べて一位低く算定されたので、ここでは k_2 と水粒子速度との関係を示した。しかし、水粒子速度の中に水深の項は含まれていから、再曝気係数に対する水深の影響を全く無視したわけではない。波による水粒子の水面における水平方向の速度と、時間的に最大となる時の一浪長についての平均値 U_m で代表させ、進行波に對しては、 U_m を有限振幅浅水波の Skejlbreia の第3近似式より (U_{mp})、重複波に對しては、Tadjbakhsh と Keller の第3近似式から (U_{ms}) を求めた。

$$U_{mp} = \left[\frac{k_2}{2g} \tanh kh \left\{ 1 + \frac{k^2 H^2 (\cosh 4kh + 8)}{32 \sinh^4 kh} \right\} \left\{ \frac{k^2 H^2}{4} \coth^2 kh + \frac{9k^4 H^4 \cosh^2 kh}{256 \sinh^8 kh} \right. \right. \\ \left. \left. + \frac{9k^3 H^3 (11 - 2 \cosh 2kh) \cosh^2 kh}{261244 \sinh^4 kh} \right\} \right]^{1/2} \quad (3)$$

$$U_{ms} = \left[\frac{1}{2} \left\{ \frac{k^2 H}{2} \left(\frac{g}{k} \coth kh \right)^{1/2} + \frac{1}{128} \left(\frac{k^2 H}{2} \right)^3 \left(\frac{g}{k} \right)^{3/2} \left(9 \coth^{12} kh + 62 \coth^{10} kh - 31 \coth^8 kh \right) \right\}^2 + \frac{1}{2} \left\{ \left(\frac{k^2 H}{2} \right) \left(\frac{g}{k} \right)^{1/2} \right. \right. \\ \times \frac{3(1+3 \tanh^2 kh)}{128} \left. \left. \left(-9 \coth^{18} kh + 25 \coth^{16} kh - 13 \coth^{14} kh + 2 \tanh^2 kh - 5 \coth^2 kh \right) \right\}^2 \right]^{1/2} \quad (4)$$

上式(3)と(4)より求まる U_m と再曝気係数 k_2 との関係は次の2式で表わされる。

進行波の場合

$$k_2 = 3.352 \times 10^{-2} U_{mp}^{1.427} \quad (5)$$

重複波の場合

$$k_2 = 8.907 \times 10^{-3} U_{ms}^{1.403} \quad (6)$$

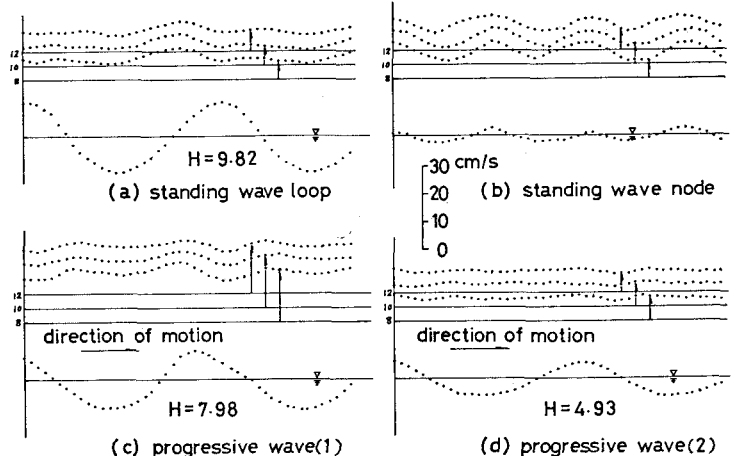
式(5), (6)の右辺を比較すると U_m の指數は進行波と重複波ではほぼ同じ値を持つ。またわれわれは進行波と重複波の各上式の係数の違いは波によって引き起こされる空気の乱れにも影響されるのではないかと考え、

熱線風速計を用いて風速を測定した。図-2にその一例を示す。横軸に Table-1 \bar{U} の値

時間を取り縦軸に静水面から所定の高さ (8cm, 10cm, 12cm) ごとに各高さにおける風速の時間的変動の記録を表わした。図-2(a), (b)は重複波の腹と節、図-2(c)(d)は重複波と同周期、同水深の進行波の測定結果である。表-1に各測定場所における風速の時間的平均値 \bar{U} を示す。図-2と表-1から、重複波に對してほぼ同じ波高を持つ進行波(1) (図-2(c))の \bar{U} の値は重複波の \bar{U} の値の約2倍であり、重複波に對してほぼ1/2の波高を持つ進行波(2) (図-2(d))の \bar{U} の値は、重複波の \bar{U} の値と同じである。このように進行波の \bar{U} の値は重複波の \bar{U} の値に比べてかなり大きいことが分る。なお今回の実験では、風速の成分を測定することができなかつた。このように実験に関する問題点は多くあるが、波によつて引き起こされる風と再曝気係数の間に何らかの関係があると思われる。今後は波によつて引き起こされる風速成分を測定し、乱れの強さ、レイノルズ応力等を算定し、それらの再曝気係数に与える影響を見い出すとともに、さらに風波についても同様な方法で研究を続けたいと考えている。

参考文献 1)細井正延; 濃度酸素量に及ぼす波浪の影響について

図-2



	静水面からの高さ cm		
	8	10	12
loop	7.98	7.69	7.65
node	10.29	9.93	9.85
pro. 1	18.29	17.79	17.53
pro. 2	8.50	8.33	7.85